

## تغییرات خاک در ردیف ارضی-زمانی دو منطقه اقلیمی در زاگرس مرکزی

حسن رمضانپور<sup>۱</sup> و احمد جلالیان<sup>۲</sup>

## چکیده

تغییر خواص و تکامل خاک‌ها در واحدهای مختلف فیزیوگرافی، در دو ناحیه اقلیمی شهرکرد و چلگرد، به ترتیب با میانگین بارندگی سالانه ۳۱۴ و ۱۲۲۴ میلی‌متر، بررسی گردید. در ناحیه اقلیمی شهرکرد، میزان  $Fe_0$  (آهن بی‌شکل + آهن در ترکیبات آلی) در افق سطحی تمام واحدها بیشتر از افق زیرین بوده، ولی  $Fe_d$  (آهن بلوری + آهن بی‌شکل + آهن در ترکیبات آلی) در خاک‌های با زه‌کشی بهتر عمدتاً در سطح، و در خاک‌های با سطح ایستابی بالا در افق زیرین متمرکز است. افزایش اسمکتیت، کاهش کلریست و پالیگورسکیت در سطح خاک، احتمالاً به آثار موضعی اسیدهای آلی، تناوب اکسید و احیا و یا شدت هیدرولیز در اقلیم گذشته مرطوب‌تر مربوط می‌شود. حضور افق آرچلیک و پتروکلسیک با کلسیت اسپاریتی و فابریک اسفرولیتیک، نشان دهنده آب‌شویی و رسوب‌گذاری مرحله‌ای و متناوب در اقلیم شهرکرد است. افزون بر این، کاهش میزان سنگ‌ریزه و شستن از کوه به دشت را می‌توان به حمل شدن ذرات درشت کربنات‌ها و رسوب‌گذاری مواد آبرفتی نسبت داد. در ناحیه اقلیمی چلگرد، کاهش pH و کربنات، و افزایش آهن پدوژنیک در افق سطحی نسبت به شهرکرد آشکار بود. همچنین، وجود کانی‌های مخلوط کلریت-اسمکتیت، کاهش کلریت آهن‌دار در بخش رس ریز همراه با افزایش اسمکتیت، CEC بالا و فقدان افق پتروکلسیک نشان دهنده هوادیدگی و آب‌شویی بیشتر است. در این ناحیه، وجود بقایای آرچیلان با فابریک دایره‌ای (پاپیول)، افزایش  $Fe_d-Fe_0$  و قرمزی در افق مدفون، دلیل بر منشأ پلی‌ژنتیک خاک‌ها است. تغییر اقلیم در دو منطقه وجود داشته، ولی در ناحیه شهرکرد عامل زمان مهم‌تر بوده است. در ناحیه چلگرد، به دلیل فعال‌تر بودن حرکات تکتونیک زمین و ناپایداری واحدهای فیزیوگرافی، عامل توپوگرافی اهمیت بیشتری داشته، و ممکن است در تشکیل افق‌های مدفون و خاک‌های پالتوسول (تشکیل شده در اقلیم گذشته) نقش داشته باشد.

واژه‌های کلیدی: تغییر اقلیم، هوادیدگی، پتروکلسیک، آرچیلان

۱. استادیار خاک‌شناسی، دانشکده کشاورزی، دانشگاه گیلان.

۲. دانشیار خاک‌شناسی، دانشکده کشاورزی، دانشگاه صنعتی اصفهان

## مقدمه

پدولوژیک و ژئومورفولوژیک است (۱۰). در مورد تراس‌های رودخانه‌ای و تشکیل خاک، باید روابط میان خاک و زمین‌نما (Landscape) مجموعه‌ای از واحدهای ژئومورفولوژی) را در نظر گرفت. برای مثال، آیا شیب ناگهانی تراس رودخانه‌ای در نتیجه حرکات تکتونیک بالا آمدن (Uplift) و تغییرات اقلیمی به وجود آمده؟ یا در اثر تغییر برخی عوامل در داخل منطقه صورت گرفته است؟ در مناطقی که بالا روی تکتونیک زمین‌نما وجود دارد، سطوح تراس‌های رودخانه‌ای ممکن است دارای ارتفاع بیش از پنج متر باشد. در حالی که اختلاف ارتفاع تراس‌ها، در مناطقی که فاقد حرکات تکتونیک است، کمتر از پنج متر است (۱۰). تشکیل تراس‌ها معمولاً در اثر کم و زیاد شدن آب رودخانه‌ها در اثر اقلیم (۶)، و یا توسط حرکات تکتونیک زمین از طریق گسل، که موجب تغییر شیب می‌شود، صورت می‌گیرد (۶ و ۲۲). در مناطق دارای حرکات تکتونیک نیز، معمولاً خاک‌های قدیمی (Paleosol) و مدفون وجود دارد (۱۰ و ۲۰).

در ارزیابی فرایندهای ژنتیکی (پیدایش خاک) و تعیین درجه

تکامل پروفیلی خاک از نسبت  $\frac{Fe_o}{Fe_d}$  استفاده می‌شود. این نسبت معمولاً با عمق کاهش می‌یابد (۴ و ۲۱)، و کاهش آن با عمق، به کند شدن سرعت آزاد شدن آهن از کانی‌های سیلیکاته مربوط می‌شود (۲۱). افزایش این نسبت در افق‌های سطحی خاک‌های احیایی را در سه مورد می‌توان ذکر کرد (۱۷):

۱. حالت ماندابی دائمی موجب عقب انداختن آب‌زدایی و بلوری شدن آهن می‌گردد.
۲. یون‌های متحرک جذب کلویید می‌شوند.
۳. آهن فریک بی‌شکل در شرایط اکسید و احیایی کوتاه مدت غالب می‌شود.

در خاک‌های با اقلیم مدیترانه‌ای (Xeric) در افق‌های زیرین، این نسبت به میزان کمتر از ۰/۰۵ گزارش شده است (۲۳). برخی از گزارش‌ها مقدار  $0/35 < \frac{Fe_o}{Fe_d}$  را برای خاک‌های با زه‌کشی خوب و قدیمی‌تر، و  $0/35 > \frac{Fe_o}{Fe_d}$  را برای خاک‌های

بالا روی زاگرس از اواخر دوره پلیوسن، به طور شدید آغاز شده و زمین‌های با توپوگرافی متفاوت را به وجود آورده است (۲۰)، به گونه‌ای که میزان مواد آلی، رطوبت، عمق سولوم و رنگ خاک تحت تأثیر توپوگرافی تغییر می‌نماید. ولی اقلیم، عامل فعال در پدیده خاک‌سازی است، و تغییر آن موجب می‌شود که ویژگی‌های خاک و دیگر اجزای اکوسیستم، بیشتر تغییر کند و در سرعت تکاملی خاک اثر بگذارد (۶). بیرکلند (۳) معتقد است که سرعت تشکیل رس با افزایش رطوبت زیاد شده، و بیشترین میزان رس در محیط مرطوب و گرم به دست می‌آید.

در واقع افق‌های مدفون بیانگر نوعی تغییر اقلیم است (۱۰). از مشخصاتی مانند ناگهانی بودن مرز افق و ویژگی‌های کانی شناسی (مینرالوژیک) می‌توان در تشخیص آنها کمک گرفت (۳). افزایش قرمزی رنگ خاک با افزایش سن خاک (۳)، در دو حالت قابل بررسی است:

۱. رنگ تحت تأثیر مواد مادری است.
  ۲. تغییرات قرمزی خاک‌های قدیمی ممکن است به خاطر تغییر اقلیم باشد.
- حالت دوم نشان دهنده یک فاصله یا وقفه در پدیده خاک‌سازی است، به گونه‌ای که دو مرحله رسوب‌گذاری و تشکیل خاک را به همراه دارد (۳). به سخن دیگر، خاک‌های مدفون حاصله از تغییر اقلیم بیانگر آن است که تشکیل خاک با دوره‌های متناوب رسوب‌گذاری فرسایش همراه بوده است (۱۱). عامل مؤثر دیگر بر تکامل خاک‌ها، وجود کربنات است، و مقدار آن تحت تأثیر توپوگرافی، مواد مادری و اقلیم تغییر می‌نماید. زمان نیز نقش جداگانه در تغییر خواص دارد، به طوری که برخی از ویژگی‌های خاک، شامل رنگ و pH، با گذشت زمان تغییر می‌کند (۱۹). مثلاً مک‌فادن و ولدون (۱۴) گزارش نمودند که ضخامت و قرمزی افق آرچلیک در تراس‌ها را می‌توان به دوره قدیمی‌تر پلیستوسن نسبت داد.
- تشکیل خاک، نتیجه تأثیر متقابل فرایندهای مختلف

اراضی حوزه آبخیز و نقشه اقلیمی پیشنهاد شده (۲) به مقیاس  $\frac{1}{250000}$ ، یک مسیر پیمایش (Transect) از واحدهای فیزیوگرافی غالب در هر ناحیه انتخاب گردید. در مسیر بررسی شهرکرد که از یک کیلومتری شمال شرقی فرخ شهر تا دو کیلومتری شمال غربی هفشجان امتداد داشت پنج پروفیل، و در مسیر بررسی چلگرد که از بازفت در جنوب زردکوه تا شهریار و چشمه دیمه در شمال شرقی زردکوه امتداد داشت شش پروفیل شاهد انتخاب گردید، و از افق‌های ژنتیکی آنها نمونه برداری انجام شد (شکل‌های ۱، ۲ و ۳).

در آزمایش‌های فیزیکی - شیمیایی، افزون بر انجام آزمایش‌های متداول، آهن پدوژنیک با دو نوع محلول عصاره‌گیر، یکی سیترا-بیکربنات-دیتینونات ( $Fe_0$ ) که آهن بی‌شکل + آهن بلوری + آهن در ترکیبات آلی را استخراج می‌نماید (۱۲)، و دیگری اکسالات آمونیوم اسیدی ( $Fe_0$ ) که آهن بی‌شکل + آهن در ترکیبات آلی را عصاره‌گیری می‌نماید (۱۷)، اندازه‌گیری شد. برای آزمایش میکرومورفولوژی، کلوخه‌های دست‌نخورده از افق‌ها تهیه گردید. برخی با رزین پتروپاکسی ۱۵۴ (نمونه را ابتدا در دمای ۷۰-۶۰ درجه در آن خشک کرده، آن را گرم نموده، سپس رزین و ماده سخت‌کننده را به نسبت ۱:۱۰ مخلوط و کلوخه را با آن اشباع نموده و بعد در دمای  $135^{\circ}C$  به مدت ۲۰ دقیقه قرار داده تا سخت گردد. با استفاده از کانادا بالزام جامد، نمونه را در سطح لام چسبانده و با پودر کوراندوم با مش‌های ۶۰۰ تا ۱۰۰ عمل سایش را انجام تا ضخامت مقطع به ۳۰ میکرون برسد) و تعدادی بارزین‌های معمولی اشباع شده، سپس تفسیر میکروسکوپی مقاطع نازک بر پایه روش بروور (۵) صورت گرفت.

برای کانی‌شناسی رس، با استفاده از روش کیتریک و هوپ (۱۳) مراحل زیر انجام شد:

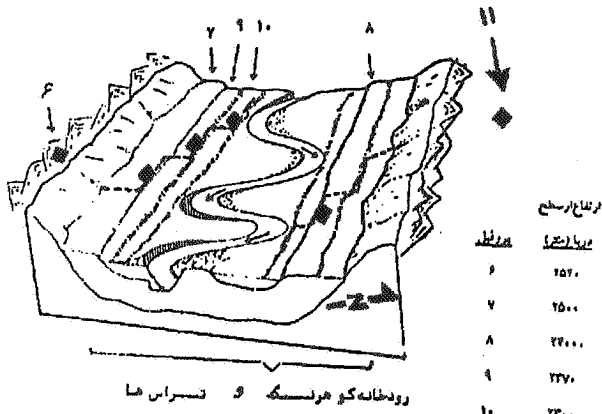
مراحل جداسازی: برای کربنات‌زدایی ۲۰ گرم خاک، استات سدیم در  $pH=5$  و دمای  $80^{\circ}C$ ، و برای اکسیداسیون مواد آلی، آب اکسیژنه ۳۰٪ در چند مرحله استفاده شد. به نمونه فوق ۱۰۰ میلی‌متر بافر سیترا، چهار گرم دی‌تیونات در دمای  $80^{\circ}C$

با زه‌کشی ضعیف و جوان‌تر نسبت داده‌اند (۱۷). پژوهش نشان داده است که در مراحل اولیه هوادیدگی و تکامل خاک، آزاد سازی آهن غیر بلوری از کانی‌های خاک، ممکن است از میزان فرایند تشکیل بلور (Crystallization) بیشتر گردد، و موجب شود که نسبت  $\frac{Fe_0}{Fe_d}$  افزایش یابد. ولی با افزایش سن و تکامل پروفیلی خاک، مقدار  $Fe_0$  بیشتر شده، و این نسبت کاهش می‌یابد (۲۱). در خاک‌های آهکی با زه‌کشی خوب، تشکیل اکسیدهای آهن پدوژنیک خیلی کند است، زیرا میزان حل شدن کانی‌های آهن‌دار یا کانی‌های ثانویه خاک در تعادل با  $CaCO_3$  کم است. به سخن دیگر، در  $pH$  قلیایی (خاک آهکی) و شرایط تهویه خوب، آهن به شکل  $Fe^{3+}$  و رسوب وجود دارد نه  $Fe^{2+}$ ؛ در نتیجه حلالیت و حرکت آهن خیلی کم است. بنابراین، غلظت اکسیدهای آهن پدوژنیک در این شرایط کاملاً پایین است (۲۳). هدف از انجام این پژوهش عبارت‌است از:

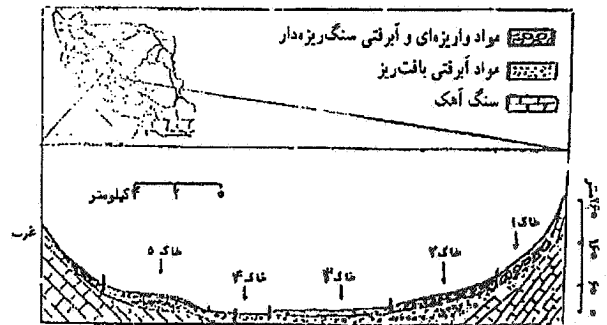
۱. بررسی نقش اقلیم در پیدایش ویژگی‌های متفاوت خاک‌ها.
۲. بررسی هم‌بستگی میان خاک و لندفرم (شکل اراضی) یا واحد فیزیوگرافی.
۳. به دست آوردن اطلاعات درباره وضع آب و هوای گذشته در زاگرس.

## مواد و روش‌ها

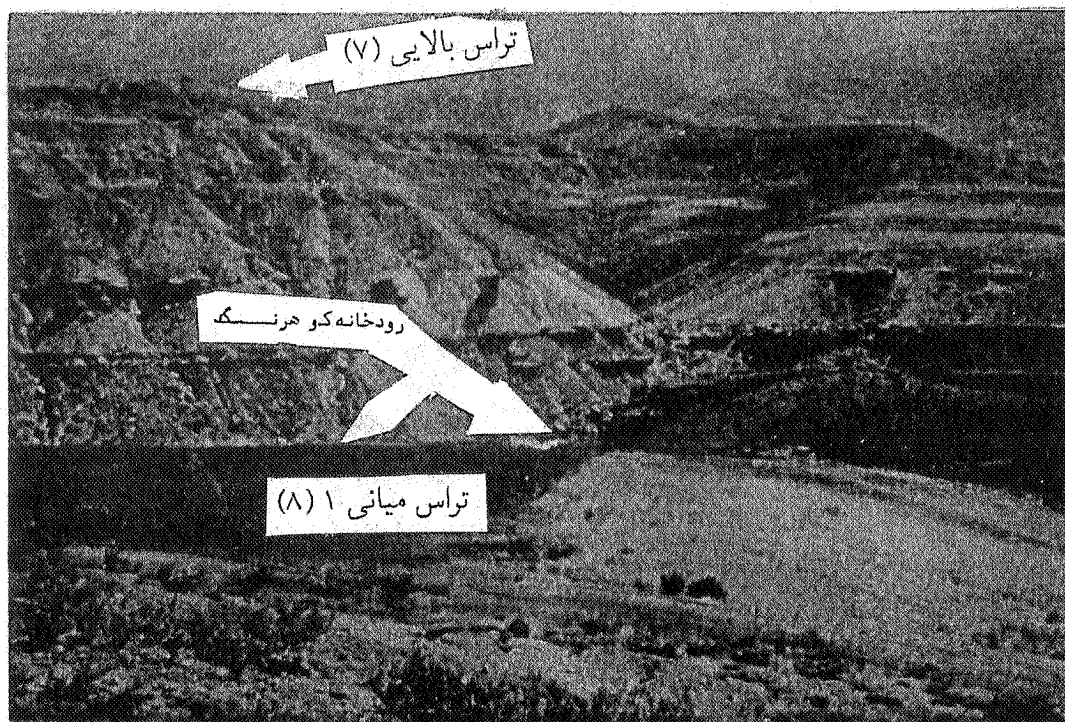
وسعت منطقه مورد بررسی ۱۴۴۷۶۰۰ هکتار، و بخشی از حوزه آبخیز شمال رود کارون است (۲). ناحیه اقلیمی شهرکرد به مساحت ۵۹۳۸۰۰ هکتار، با میانگین بارندگی و دمای سالیانه به ترتیب  $314/5$  میلی‌متر و  $12/2^{\circ}C$  است، و شامل بخش‌های فرخ‌شهر، گندمان، جونقان، هفشجان، بروجن، فارسان و شهرکرد است. ناحیه اقلیمی چلگرد به مساحت ۲۲۰۷۰۰ هکتار، با میانگین بارندگی و دمای سالیانه به ترتیب ۱۲۲۴ میلی‌متر و  $9/5^{\circ}C$  است، و شامل بخش‌های شوراب، بازفت، شهریار، دشتک، چشمه دیمه و چلگرد است. با استفاده از اطلاعات مربوط به ۳۹ نقشه توپوگرافی به مقیاس  $\frac{1}{50000}$ ، نقشه منابع



شکل ۲. نمایش شماتیکی محل حفر پروفیل ها (۶ تا ۱۱) در ناحیه اقلیمی چلگرد



شکل ۱. نمایش شماتیکی محل حفر پروفیل ها (۱ تا ۵) در ناحیه اقلیمی شهرکرد



شکل ۳. نمایی از وضع زمین نمای تراس ها در اطراف رود کوه هرنسگ (ناحیه اقلیمی چلگرد)

مراحل آماده سازی: به ۵۰ میلی لیتر از سوسپانسیون نمونه، چند قطره کلرور منیزیم نرمال افزوده شد و به مدت پنج دقیقه با دور زیاد سانتریفوژ گردید. سپس دوباره ۵۰ میلی لیتر کلرور منیزیم نرمال افزوده شد و پس از تکان مکانیکی به مدت ۱۰ دقیقه و سانتریفوژ کردن، مایع رویی دور ریخته شد و پس از سه بار تکرار و انجام شست و شو با الکل یا آب، عمل سانتریفوژ صورت گرفت. اسلاید نمونه اشباع با منیزیم پس از تجزیه با

افزوده شد. پس از سانتریفوژ کردن و شست و شو با ۵۰ میلی لیتر بافر سترات و سانتریفوژ، اکسید آهن آزاد در محلول رویی جمع آوری گردید. آن گاه به نمونه آب مقطر افزوده شده، رس ریز (کمتر از ۰/۲ میکرون) در ۲۷۰۰ دور در دقیقه به مدت ۴۱/۲ دقیقه و پنج مرتبه تکرار، و رس درشت (۰/۲-۲ میکرون) در ۷۵۰ دور در دقیقه به مدت ۵/۳ دقیقه و سه مرتبه تکرار جدا گردید.

رسوب کربنات کلسیم ثانویه در نقاطی مانند شکاف داخل خاک، که تبادل گازی سریع تر است، می تواند انجام گیرد. در حالی که سوئیدی و واپلیدینگ (۲۴)، تشکیل افق کلسیک و تجمع آهک ثانویه در خاک های کلسی اکوالز (Calciaquolls) را نتیجه رسوب کربنات و بیکربنات محلول، از طریق حرکت رو به بالای جریان آب زیرزمینی تا نزدیک سطح خاک می دانند.

شرایط قلیایی و زه کشی ضعیف میزان هیدرولیز و تخریب کانی ها را محدود می نماید (۲۶). با این حال، تجمع اسیدهای آلی و تناوب اکسید و احیا موجب تغییر در کانی شناسی افق سطحی خاک پروفیل ۳ و ۴ شده، به گونه ای که کاهش کلریت در بخش رس ریز، با افزایش اسمکتیت همراه بوده است. مورفولوژی پروفیل ۴ (جدول ۱) حضور رس انبساط پذیر (ایجاد شکاف) را تأیید می کند. با افزایش شیب از واحد اراضی پست به طرف فلات قدیمی، زه کشی بهتر می شود و رنگ خاک ها روشن تر می گردد. با پیدایش افق های آرچیلیک (شکل ۷) و پتروکلسیک (شکل ۸) در فلات قدیمی، خاک های تکامل یافته تر تشکیل می شود. کاهش نسبت  $\frac{Fe_d}{rs}$  در عمق زیرین و توزیع نامنظم آن (شکل ۴) در خاک های با زه کشی بهتر، دلیل بر این است که حرکت رس، مستقل از  $Fe_d$  بوده و هم بستگی میان آنها ضعیف است (۴ و ۱۲). به سخن دیگر، افزایش رس در آرچیلیک، موجب کاهش این نسبت می گردد، در حالی که ثابت شدن این نسبت در عمق زیرین (پروفیل ۴) به دلیل نوسان آب (شکل ۴)، نشان می دهد که زمان لازم برای تشکیل آهن بلوری فراهم نبوده ( $\frac{Fe_o}{Fe_d}$  در پروفیل ۴ نسبتاً بیشتر از پروفیل ۵ می باشد) و مهاجرت هم زمان رس و آهن به وسیله نوسان آب زیرزمینی صورت می گیرد (۴).

شواهد زیر نشان می دهد که اقلیم گذشته در ناحیه اقلیمی شهرکرد، مرطوب تر از زمان حال بوده است:  
الف) وجود افق مدفون 2Btkb در پروفیل ۲. در این حالت واریزه ها از نقاط پرشیب بالادست کوه به سمت پایین کوه و اراضی بادبزی شکل سرازیر شده، و به دلایل زیر

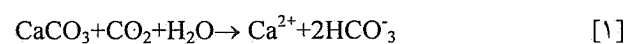
اشعه ایکس به مدت یک روز در دسیکاتور حاوی اتیلن گلیکول در دمای  $70^{\circ}C$  گذاشته شد. اشباع نمونه ها با کلرور پتاسیم یک نرمال نیز همانند اشباع با منیزیم بوده، و پس از تجزیه با اشعه ایکس، در دمای مختلف کوره الکتریکی به مدت دو ساعت قرار گرفت، و هر بار نیز عمل تجزیه انجام گردید. نمونه ها از زاویه صفر تا  $30^{\circ}$  درجه ۲۵ در معرض اشعه ایکس دستگاه پراش سنج نوع شیمادزو مدل XD-610 و جریان  $40$  میلی آمپر و ولتاژ  $40$  کیلووات قرار گرفت.

## نتایج و بحث

### ناحیه اقلیمی شهرکرد

از آن جا که شیب در واحد فیزیوگرافی کوه زیاد است، سطوح ژئومورفیک آن پایدار نبوده، و به دلیل مواد مادری آهکی، خاک ها تکامل ندارند (جدول ۱). در واحد واریزه های بادبزی شکل، خاک بدون تکامل (Xerorthents) روی خاک تکامل یافته ای با ساختمان بلوکی و افق های کلسیک و آرچیلیک قرار گرفته است (جدول ۱). به تدریج که شیب واحدها کمتر می شود (پروفیل ۳ و ۴) میزان سیلت و رس به دلیل خرد شدن و حل شدن سنگ ریزه های آهکی، بیشتر شده (۷ و ۲۶)، و زه کشی خاک ضعیف تر می گردد، به گونه ای که ساختمان بلوکی (تجمع رس) در افق زیرین، تجمع مواد آلی در سطح، و رنگین دانه ها در عمق را می توان مشاهده نمود.

در اراضی پست، کم بودن عمق آب زیرزمینی، تشکیل افق کلسیک را تحت تأثیر قرار داده، به طوری که بخشی از کربنات کلسیم ثانویه انتقال یافته از سطح (Illuvial) دارای منشأ از افق رویی است. ولی بخشی از کربنات کلسیم دارای منشأ آب زیرزمینی است، و با تبخیر آب در شرایط گرم و یا کاهش فشار  $CO_2$  در اطراف شکاف سطحی (جدول ۱)، واکنش به سمت چپ تمایل یافته (رابطه ۱)، کربنات کلسیم به صورت رسوب در حاشیه شکاف انباشته می شود.



پژوهش رابین هورست و همکاران (۱۸) نیز گویای این است که

جدول ۱. برخی ویژگی‌های فیزیکی، شیمیایی، مورفولوژیک و طبقه‌بندی نیم‌رخ خاک‌های شاهد (ناحیه اقلیمی شهرکرد)

کربنات	واحد فیزیوگرافی	نیم‌رخ (پروفیل) خاک	افق	عمق (سانتی‌متر)	رنگ مرطوب	ساختمان	کربنات ثانویه	کلسیم معادل (%)	رس (%)
کوه دارای			A	۰-۱۲	10YR 4/4	m	—	۲۷	۶۶
سنگ‌های	۱		C1	۱۲-۴۰	7.5YR 4/4	m	—	۳۳	۵۹
آهکی			C2	۴۰-۶۰	7.5YR 4/4	m	—	۴۱	۶۷
			C3	۶۰-۱۱۰	7.5YR 6/4	m	—	۶۳	۶۴
واریزه‌های			A	۰-۱۵	10YR 4/3	1fgr-m	—	۲۳	۲۷
بادبزی			C1	۱۵-۴۵	10YR 4/4	m	—	۳۸	۳۲
شکل با	۲		C2	۴۵-۶۵	10YR 4/4	m	—	۴۸	۳۸
شیب			2Btkb	۶۵-۱۰۰	7.5YR 4/4	2mabk	آهک پودری به مقدار نسبتاً زیاد	۵۳	۶۲
۸-۵٪			2BCkb	۱۰۰-۱۴۰	7.5YR 4/4	1fsbk-m	آهک پودری به مقدار نسبتاً زیاد	۵۳	۳۹
دشت‌های			Ap	۰-۱۸	10YR 4/3	1fgr-m	—	۳۱	۵۷
آبرفتی			Btk1	۱۸-۴۶	10YR 5/3	1fsbk	آهک پودری به مقدار کم	۴۷	۶۶
دامنه‌ای با	۳		Btk2	۴۶-۸۵	10YR 5/3	2mabk	آهک پودری به مقدار نسبتاً زیاد	۵۱	۵۹
شیب			Btkg1	۸۵-۱۲۵	10YR 5/2	3mabk	آهک پودری به مقدار نسبتاً زیاد	۴۱	۶۱
۱-۰٪			Btkg2	۱۲۵-۱۵۰	10YR 5/2	2mabk	آهک پودری به مقدار نسبتاً زیاد	۴۷	۶۱
اراضی			A	۰-۲۵	10YR 4/2	1mgr	—	۴۱	۶۷
پست	۴		BK	۲۵-۵۰	10YR 4/2	1fsbk	آهک پودری به مقدار نسبتاً زیاد	۴۵	۵۹
			Bkg1	۵۰-۷۲	10YR 5/2	1mabk	آهک پودری به مقدار نسبتاً زیاد	۴۲	۶۰
			Bkg2	۷۲-۹۵	10YR 5/2	1msbk	دارای آهک ثانویه زیر میکروسکوپ	۵۲	۶۰
			Bkg3	۹۵-۱۵۰	10YR 5/1	1fsbk	دارای آهک ثانویه زیر میکروسکوپ	۵۷	۶۵
فلات‌های			Ap	۰-۲۴	7.5YR 5/4	1fgr	—	۱۱	۴۷
قدیمی	۵		Btk1	۲۴-۵۲	7.5YR 4/4	2mabk	آهک پودری به مقدار نسبتاً زیاد	۳۵	۵۶
فرسایش			Btk2	۵۲-۶۷	7.5YR 4/5	2msbk	آهک پودری به مقدار نسبتاً زیاد	۴۲	۴۹
یافته			Btk3	۶۷-۹۰	7.5YR 5/5	2csbk-abk	آهک پودری به مقدار نسبتاً زیاد	۳۵	۵۰
			2bkm	>۹۰	—	m	آهک سخت شده با پوشش لامینار	۹۰	—

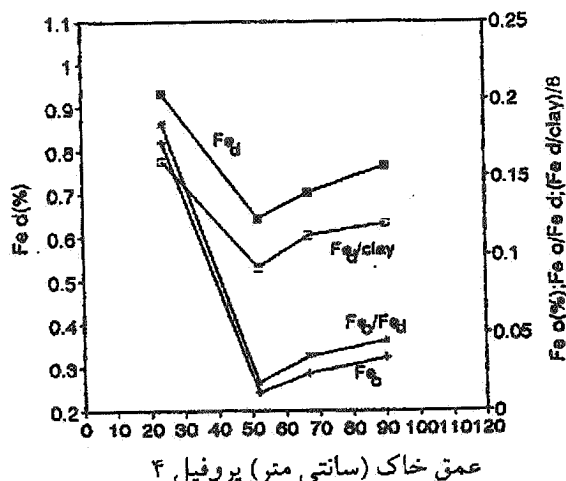
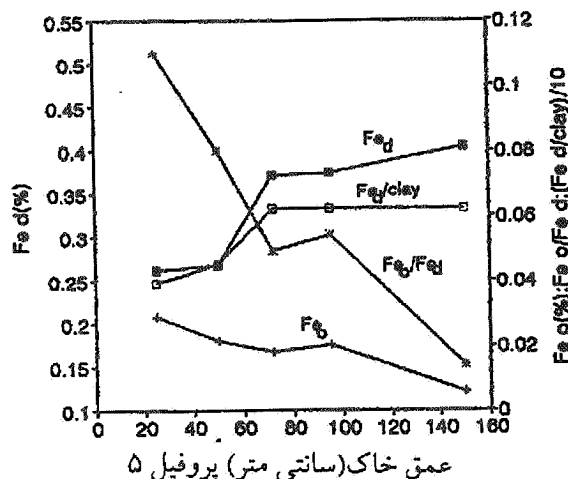
۱. سطح ایستابی گاهی نزدیک به سطح، دارای زه‌کشی ضعیف، رنگین دانه‌های اکسید و احیایی و شکاف در تابستان است.

ادامه جدول ۱. برخی ویژگی‌های فیزیکی، شیمیایی، مورفولوژیک و طبقه‌بندی نیم‌رخ خاک‌های شاهد (ناحیه اقلیمی شهرکرد)

واحد فیزیوگرافی	نیم‌رخ (پروفیل) خاک	کربن آلی (%)	Fe <sub>a</sub> -Fe <sub>o</sub> (%)	pH گل اشباع	CEC cmol (+)kg <sup>-1</sup>	رس ریز کل رس	سیستم طبقه‌بندی ۱۹۹۸ (۲۵)
کوه دارای سنگ‌های آهکی	۱	۰/۶۹	۰/۷	۷/۹	۲۸/۵	—	Typic Xerorthents
		۰/۴۵	۰/۵۳	۷/۹	۲۹/۹	—	
		۰/۳۵	۰/۵۴	۸	۲۶/۸	—	
		۰/۲۳	۰/۲۶	۸/۲	۱۶/۶	—	
واریزه‌های بادبزنی شکل با شیب ۵-۸٪	۲	۰/۸۸	۰/۶۳	۷/۸	۲۱	۰/۳۱	Typic Xerorthents
		۰/۵۷	۰/۵۷	۷/۷	۱۹	۰/۳۴	
		۰/۳۴	۰/۴۹	۷/۸	۱۸	۰/۴۵	
		۰/۲۳	۰/۴۶	۷/۸	۱۷/۷	۰/۴۱	
		۰/۲۹	۰/۶۴	۷/۶	۱۷/۶	۰/۳۴	
دشت‌های آبرفتی دامنه‌ای با شیب ۰-۱٪	۳	۱/۴۵	۰/۴۲	۸	۲۷/۹	۰/۳	Calcic Haploxeralfs
		۱	۰/۲۲	۸/۱	۲۴	۰/۴۱	
		۰/۳۷	۰/۱۵	۸/۲	۲۰	۰/۳۷	
		۰/۳	۰/۳۳	۷/۸	۲۲	۰/۳۹	
		۰/۱۸	۰/۴۲	۷/۹	۱۹	۰/۵۷	
اراضی پست <sup>۱</sup>	۴	۲/۷۳	۰/۲۳	۷/۸	۳۰/۹	۰/۶۱	Aeric Calciaquolls
		۰/۵۹	۰/۲۵	۷/۸	۲۲/۶	۰/۵۱	
		۰/۵	۰/۳۵	۸	۲۴/۸	۰/۶۲	
		۰/۳۵	۰/۳۵	۷/۸	۲۱/۹	۰/۶۳	
فلات‌های قدیمی فرسایش یافته	۵	۰/۵۲	۰/۷۶	۷/۷	۲۴	۰/۲۹	Petrocalcic Palixeralfs
		۰/۴۳	۰/۶۳	۷/۴	۲۴/۵	۰/۵۳	
		۰/۳۱	۰/۶۸	۷/۷	۲۳	۰/۵۵	
		۰/۲۸	۰/۷۳	۷/۶	۲۵	۰/۵۹	
		—	—	۷/۹	—	—	

۱. سطح ایستابی گاهی نزدیک به سطح، دارای زه‌کشی ضعیف، رنگین دانه‌های اکسید و احیایی و شکاف در تابستان است.

- خاک‌های تکامل یافته زیرین را به وجود می‌آورد:
۱. شواهد مورفولوژی، شامل تغییر هیوی رنگ از 10YR در افق C2 به 7.5YR در افق 2Btkb و نیز مشاهده پوسته
- رسی مجزا و پیوسته در صحرا در افق 2Btkb.
۲. شواهد فیزیکی، شامل افزایش رس از ۳۷٪ در افق C2 به ۶۱٪ در افق 2Btkb.



شکل ۴. توزیع آهن پدوژنیک (Fed, FeO) و کل رس / Fed با عمق

است تا پوسته رسی جهت دار تخریب گردد (۹)؛ و یا مخلوط شدن کربنات‌ها با رس انتقال یافته از سطح ممکن است موجب شود تا در زیر میکروسکوپ، پوسته رسی از نظر پنهان شود (۹).

ج) تشکیل افق پتروکلسیک همراه با پوشش لایه‌های مطابق (Laminar capping) و خطی (شکل ۸)، نشان دهنده آبشویی و رسوب‌گذاری متناوب در اقلیم مرطوب‌تر گذشته است (۸).

بررسی‌های مقطع نازک نشان داد که بخش لایه‌های مطابق خطی (شکل ۸) دارای مخلوطی از صور پدوژنیک کریستالاریا و نئوکلسیتان از کربنات خالص بوده، که عمدتاً در اندازه‌های اسپاریت (بزرگ‌تر از ۵۰ میکرون) است. گرچه برخی از گزارش‌ها، عامل بیولوژیک را در تشکیل قسمت مطابق (لامینار) مسئول دانسته‌اند (۱۶)، ولی به طور کلی، پوشش‌های لامینار، آخرین مرحله تشکیل افق پتروکلسیک است، و چون بلورهای اندازه اسپاریت، رسوب مرحله‌ای و تدریجی کلسیت را نشان می‌دهد (۷) و (۱۶)، از این رو، تشکیل لامینار، محصول فرایند افزایش متوالی کربنات‌ها است، که با تغییر رژیم رطوبتی، حرارتی و محلول شیمیایی در زمان طولانی‌تر شکل گرفته است، و خود معرف تغییر شرایط اقلیمی است (۷ و ۱۶).

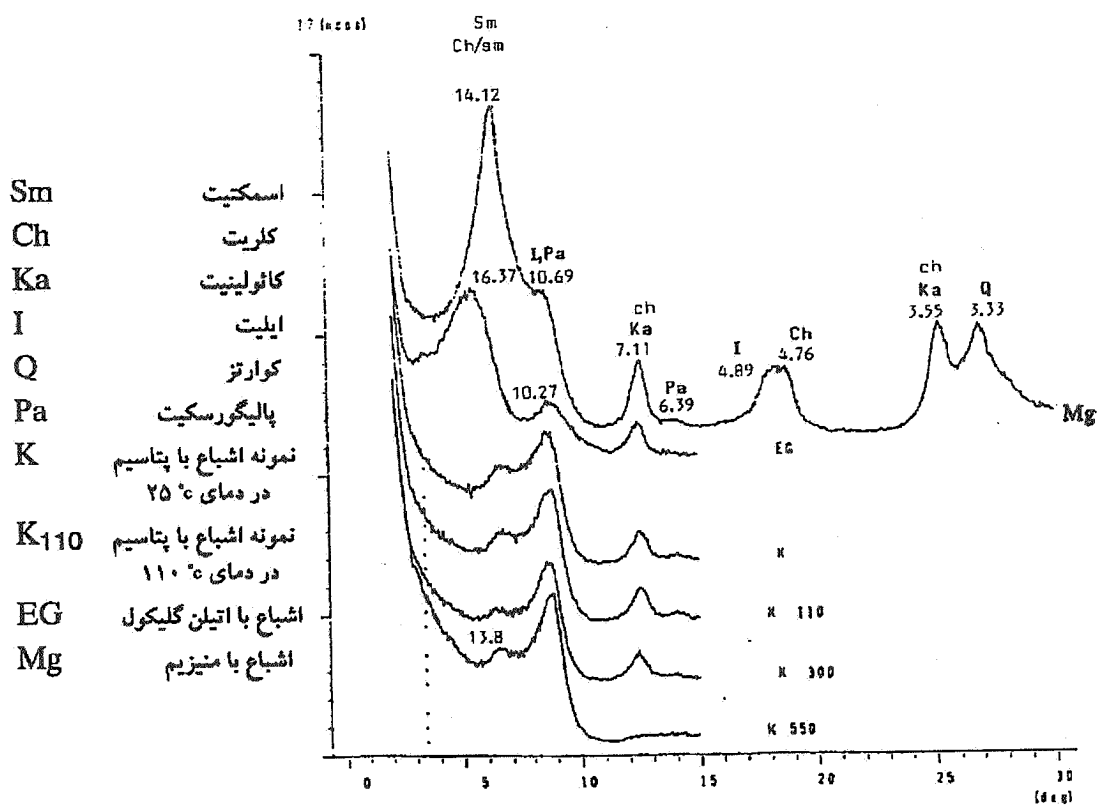
۳. شواهد میکرومورفولوژی، شامل ساختمان توده‌ای در افق C2، ساختمان بلوکی، و نیز کلسیت سوزنی شکل پدوژنیک در افق 2Btkb

مکفادن و ولدون (۱۴)، افزایش ناگهانی رس و اکسید آهن را به تغییر اقلیم نسبت دادند. جساب (۱۱) نیز خاک‌های مدفون را در اثر تشکیل خاک با دوره‌های متناوب رسوب‌گذاری فرسایش و اقلیم مرطوب‌تر گذشته می‌داند.

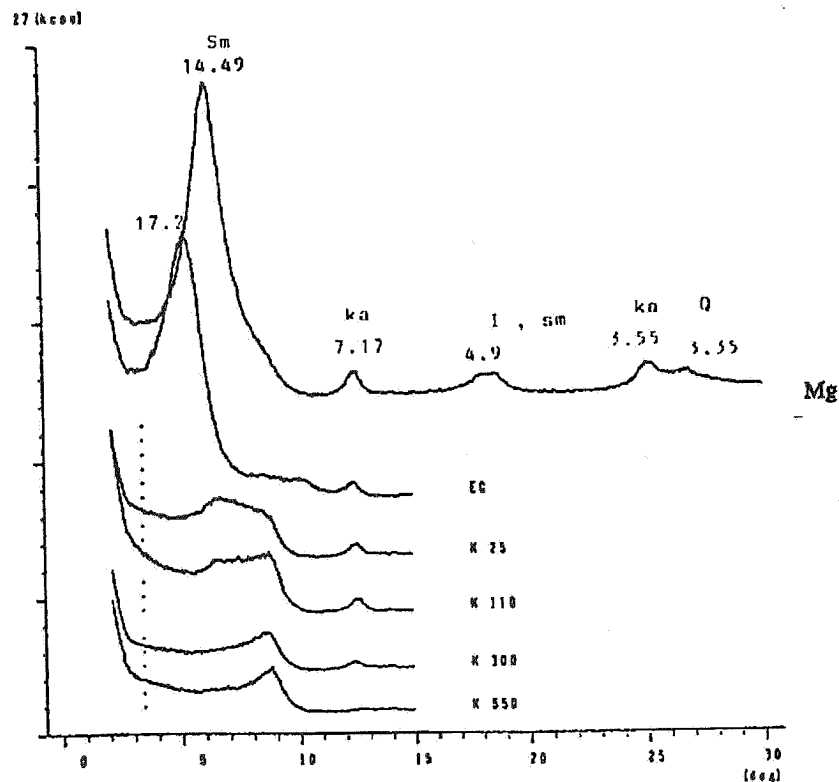
ب) میزان بارندگی فعلی (۳۱۴ میلی‌متر) به حدی نیست که آبشویی کربنات‌ها از افق سطحی و تشکیل افق پتروکلسیک در عمق زیرین را موجب گردد. هم‌چنین، حضور آرجیلان در افق Btk1 (شکل ۷)، و تجمع کانی‌های گروه اسمکتیت (شکل ۵)، و افزایش نسبت رس ریز به کل رس (جدول ۱) در افق Btk3 از خاک‌های فلات قدیمی، دلیل بر این است که آبشویی بیشتر در اقلیم گذشته این شرایط را فراهم آورده است.

عدم مشاهده میکروسکوپی پوسته رسی (آرجیلان) در برخی خاک‌های این مناطق به دلیل آن است که بخشی از افزایش رس در اثر هوادیدگی در جا می‌باشد (۲۶)؛ و یا این که کربنات‌ها شدن و یا رشد بلورهای کلسیت ثانویه (۹)، یا فشار ناشی از انبساط کانی‌های اسمکتیت موجب شده

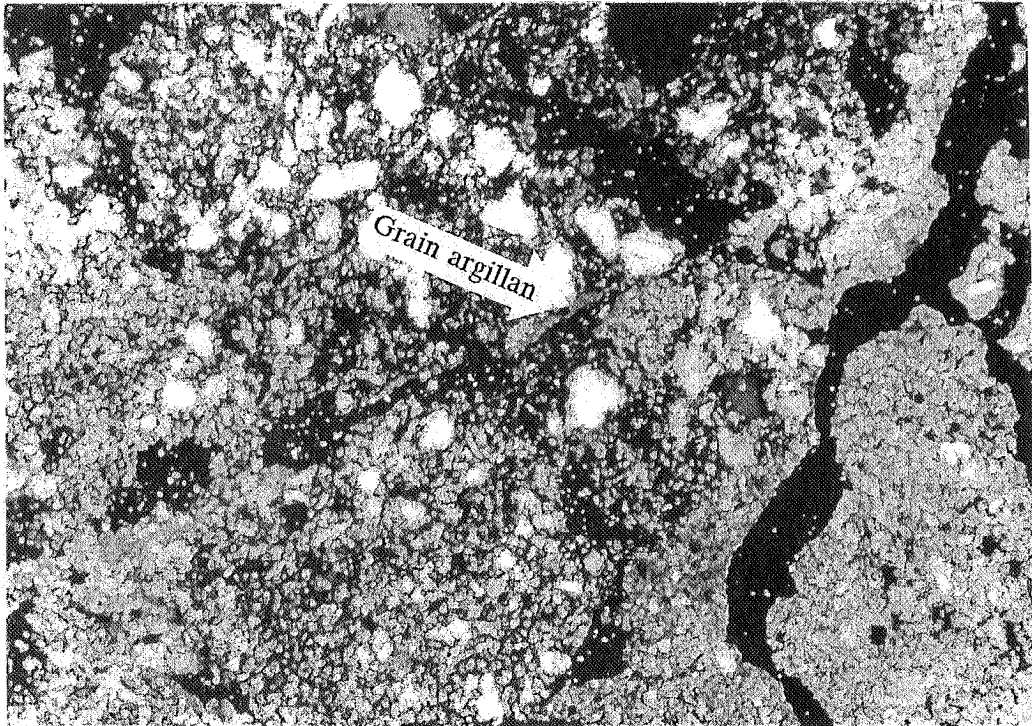




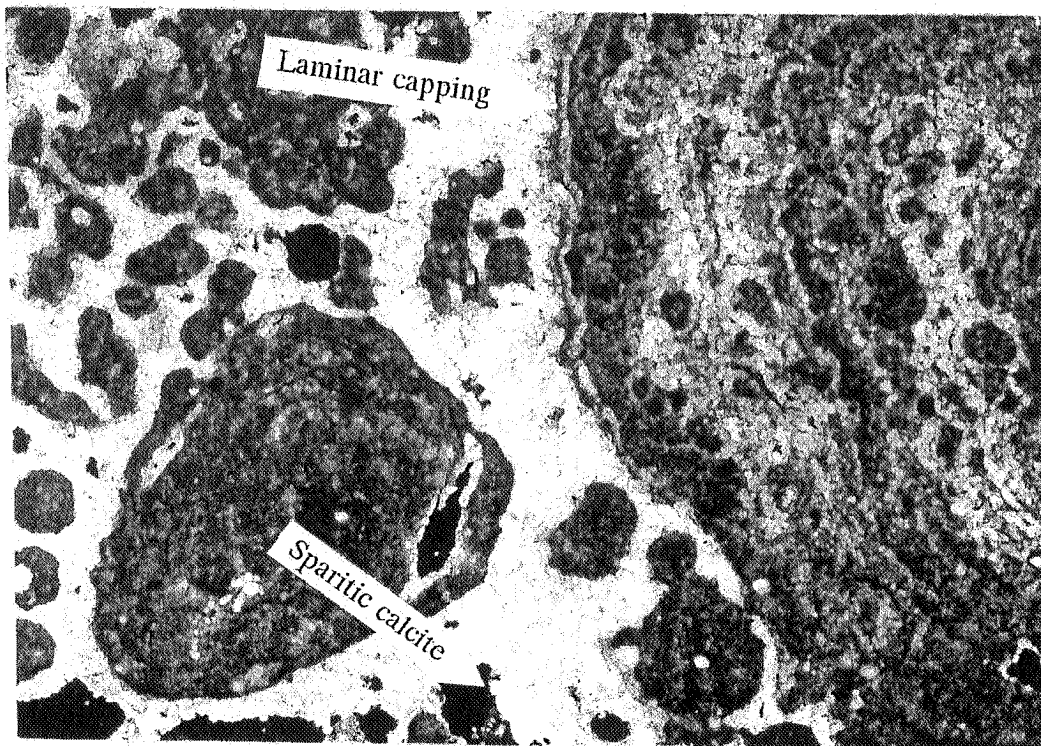
شکل ۵. دیفراکتوگرام اشعه ایکس رس ریز افق Btk3 پروفیل ۵ (اعداد روی نقاط فراز به آنگستروم)



شکل ۶. دیفراکتوگرام اشعه ایکس رس ریز افق Bk2 پروفیل ۱۱ (اعداد به آنگستروم)



شکل ۷. مقطع میکروسکوپی افق Btk1 پروفیل ۵، نور پلاریزه، طول عکس برابر ۲/۵ میلی متر (شکاف داخل ماسه سنگ از تخریب پوسته رسی یا آرجیلان جلوگیری نموده است).



شکل ۸. مقطع میکروسکوپی بخش مطبق (لامینار) افق Bkm پروفیل ۵، نور پلاریزه، طول عکس برابر ۲/۵ میلی متر [بخش لامینار (سمت راست)، توده های قهوه ای کروی و کلسیت اسپاریت با فابریک اسفرولیتیک را نشان می دهد].

## ناحیه اقلیمی چلگرد

(فابریک اسکل سپیک).

۲. نسبت‌های رس ریز به کل رس در افق‌های رویی و زیرین، چندان اختلافی ندارند (جدول ۲).

۳. وقتی رس‌های انبساط‌پذیر در خاک زیاد است، در اثر خشک و مرطوب شدن، ذرات درشت چرخش نموده و کانی‌های رسی در اطراف ذرات درشت، جهت‌دار می‌شوند (۸).

بر پایه اطلاعات موجود، می‌توان گفت که احتمالاً تغییرات اقلیمی، زمان طولانی و پدیده بالاروی زمین‌نما در اثر فعالیت تکنونیک، بر تغییر خواص خاک تأثیر بسزایی داشته است. به عنوان مثال، وجود افق مدفون 2Btkb در پروفیل ۹ (تراس میانی ۲) می‌تواند این آثار را منعکس کند. زیرا از یک سو، تغییر ناگهانی رنگ به سمت قرمز شدن (از 7.5YR به 2.5YR) و از سوی دیگر، افزایش میزان رس و آهن پدولوژیک (جدول ۲)، وجود کانی‌های رسی جهت‌دار با فابریک دایره‌ای و تغییر شکل یافته، که در متن خاک پخش می‌باشند، و وجود بقایای آرجیلان بنام پایپول (شکل ۱۰)، از شواهدی هستند که افق 2Btkb را مدفون نشان می‌دهند.

اسمک و همکاران (۲۳) در بررسی خاک‌های پالی زرالف (Palexeralf) اسپانیا، وجود افق دارای هیوی قرمزتر از 10YR را در بخش زیرین سولوم خاک به هماتیت و منشأ پلی‌ژنتیک خاک‌ها نسبت دادند. این پژوهشگران، بخش زیرین را با دوره مرطوب‌تر پلیستوسن و بخش فوقانی را با اقلیم مدیترانه‌ای نیمه خشک زمان حاضر مرتبط دانستند. ری‌تالاک (۲۰) معتقد است که در خاک مدفون در پالتوسول‌ها، در اثر آب‌زدایی، فری‌هیدرات به گوتیت، و سپس به هماتیت تغییر می‌یابد. میکسنر و سینگر (۱۵) نیز در بررسی خاک‌های پالتوسول در کالیفرنیا با رژیم رطوبتی زیرین، نتیجه گرفته‌اند که در افق 2B21t، تغییر ناگهانی رنگ از 7.5YR به 2.5YR وجود داشته است، و نقش رسوب‌گذاری هم‌زمان را در این حالت مردود دانسته، ولی تغییر اقلیم را عامل مؤثر می‌دانند.

حال با توجه به این که اثر دراز مدت تشکیل خاک (زمان طولانی‌تر) نیز می‌تواند همانند نتایج پدولوژیک تغییر اقلیم

خاک‌ها در واحد کوه (پروفیل ۶) دارای افق آرجیلیک بوده، از تکامل خوبی برخوردارند (جدول ۲)، و به دلیل آب‌شویی زیاد، امکان تخریب کانی‌های کلریت و ایلیت و تشکیل کانی‌های مخلوط کلریت-اسمکتیت و ایلیت-اسمکتیت فراهم شده، موجب افزایش رس‌های گروه اسمکتیت و گنجایش تبادل کاتیونی خاک شده است. خاک‌های تراس بالایی (پروفیل ۷)، به دلیل آهک زیاد، از تکامل ضعیف‌تر برخوردارند. گرچه وجود کربنات‌های ثانویه سوزنی شکل و کانی‌های رسی مخلوط در بخش رس، دلیل بر هوادیدگی این خاک‌ها است.

به تدریج که ارتفاع از تراس‌ها به سمت رودخانه کوه‌رنگ کمتر می‌شود، تجمع اسمکتیت بیشتر آشکار می‌شود، به گونه‌ای که در تراس میانی ۱، خاک ورتی‌سول تشکیل شده، و در تراس میانی ۲، پوسته رسی انتقال یافته از افق‌های رویی در سطح خاک‌دانه‌ها و به صورت پخش شده در متن (زمینه) خاک (Soil matrix) دیده می‌شود، و بیشتر به صورت پوسته‌های فشاری وجود دارد. در افق‌های مدفون زیرین، بقایای پوسته رسی، که منشأ رسوبی و انتقال یافته از محل دیگر را دارد، به صورت پایپول (Papule) است (شکل ۱۰). با افزایش فاصله از رودخانه کوه‌رنگ، در فلات قدیمی به دلیل تجمع رس‌های گروه اسمکتیت (شکل ۶)، خاک‌های ورتی‌سول تشکیل می‌شود (جدول ۲).

بررسی‌های مقطع نازک، نشان می‌دهد که پوسته‌های رسی اغلب تخریب یافته‌اند (در اثر رشد بلورهای کلسیت یا انقباض و انبساط رس‌ها)، به گونه‌ای که بقایای پوسته رسی به صورت پایپول ظاهر می‌گردد (شکل‌های ۹ و ۱۰). در این خاک‌ها، آرجیلان عمدتاً به دلایل زیر دارای منشأ فشاری بوده و کمتر ایلوویال (انتقال یافته از سطح) هستند:

۱. ضخامت رس‌های انتقال یافته از سطح و جهت‌دار (آرجیلان ایلوویال) روی دیواره منافذ، کم بوده و یا در متن خاک پخش هستند (فابریک ماسپیک)، و یا به صورت لایه‌ای نازک، سطح ذرات درشت را احاطه کرده‌اند

جدول ۲. برخی ویژگی‌های فیزیکی، شیمیایی، مورفولوژیک و طبقه‌بندی نیم‌رخ خاک‌های شاهد (ناحیه اقلیمی چلگرد)

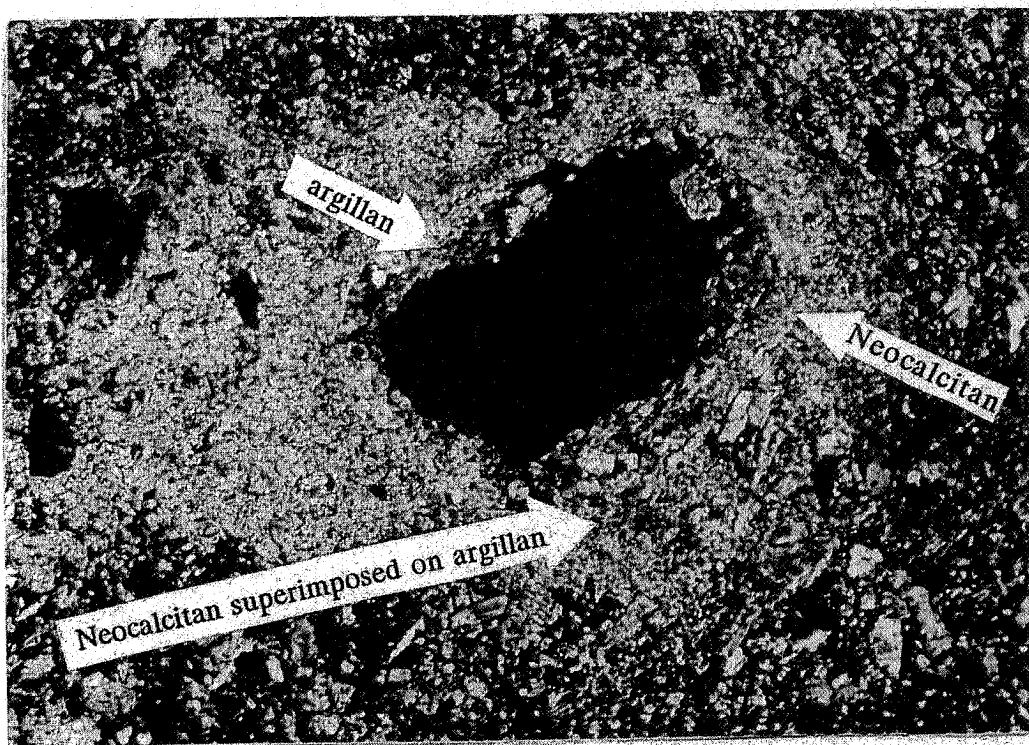
کربنات	واحد فیزیوگرافی	نیم‌رخ خاک	افق	عمق (سانتی‌متر)	رنگ مرطوب	ساختمان	کربنات ثانویه	کلسیم معادل (%)	رس (%)
—	کوه	۶	A	۰-۲۲	10YR 3/3	2fgr	—	۳	۵۸
—			Bw	۲۲-۴۰	10YR 4/3	2mabk	—	۱۲	۶۵
—			B1	۴۰-۸۰	10YR 4/4	1(f-m)abk	—	۴	۷۳
—			C	۸۰-۱۳۰	2.5YR 4/4	m	—	۲۰	۴۷
—	تراس بالایی	۷	Ap	۰-۱۸	7.5YR 3/4	1fgr	—	۲۱	۴۳
آهک پودری به مقدار نسبتاً زیاد			Bk1	۱۸-۴۴	7.5YR 4/4	1fsbk	—	۵۲	۳۸
آهک پودری به مقدار نسبتاً زیاد			Bk2	۴۴-۷۶	10YR 5/6	1fsbk	—	۶۰	۴۹
آهک پودری به مقدار نسبتاً زیاد			Bk3	۷۶-۹۳	10YR 5.5/6	1fsbk-sbk	—	۵۸	۲۵
آهک پودری و رشته‌ای به مقدار نسبتاً زیاد			2Bk4	۹۳-۱۰۱	7.5YR 5.5/6	1fsbk-m	—	۶۸	۹
آهک پودری به مقدار نسبتاً زیاد			2BCK	۱۰۱-۱۳۰	10YR 5.5/4	1fsbk-m	—	۶۵	۱۷
—			2C	۱۳۰-۱۵۰	10YR 7/3	m	—	۷۵	۴
—	تراس میانی <sup>۱</sup>	۸	Ap	۰-۲۴	10YR 3/3	2fgr-sbk	—	۴	۵۳
آهک پودری به مقدار نسبتاً زیاد			Bk	۲۴-۵۱	10YR 3/3	2mabk	—	۱۵	۴۹
آهک پودری به مقدار نسبتاً زیاد			Btk	۵۱-۸۰	10YR 4/3	3mabk	—	۲۳	۴۲
آهک پودری به مقدار نسبتاً زیاد			B'k	۸۰-۱۳۰	10YR 4/4	3mabk	—	۲۱	۴۵
—	تراس میانی	۹	Ap	۰-۱۸	10YR 3/4	1fgr-m	—	۳	۵۳
آهک پودری خیلی کم			Btk1	۱۸-۳۸	10YR 3/4	1(f-m)abk	—	۱۸	۵۳
آهک پودری به مقدار نسبتاً زیاد			Btk2	۳۸-۷۲	10YR 4/4	2mabk	—	۲۵	۴۱
آهک پودری و رشته‌ای به مقدار نسبتاً زیاد			Btk3	۷۲-۹۵	7.5YR 4/4	2mabk	—	۲۲	۴۵
آهک پودری و رشته‌ای به مقدار نسبتاً زیاد			Btk4	۹۵-۱۲۴	7.5YR 4/4	2mabk	—	۲۴	۴۷
آهک پودری به مقدار نسبتاً زیاد	2Btkb	۱۲۴-۱۵۰	2.5YR 3.5/6	2fabk-sbk	—	۲۶	۶۱		
—	تراس پایینی	۱۰	A	۰-۲۵	10YR 3/4	1fsbk-m	—	۵۱	۲۲
—			C1	۲۵-۷۴	10YR 5/4	m	—	۷۰	۹
—			C2	۷۴-۱۰۰	10YR 5/4	m	—	۷۵	۱۰
—	فلات‌های قدیمی	۱۱	Ap	۰-۱۵	7.5YR 3/4	1vfgr	—	۱۲	۴۹
آهک پودری به مقدار نسبتاً زیاد			Bk1	۱۵-۴۵	10YR 4/3.5	2fabk	—	۱۵	۴۷
آهک پودری به مقدار زیاد			Bk2	۴۵-۸۵	10YR 3.5/4	2fabk	—	۲۰	۴۸
آهک پودری به مقدار زیاد			Bk3	۸۵-۱۳۰	10YR 3.5/3	1vfabk	—	۲۰	۴۹
آهک پودری به مقدار زیاد			Bk4	۱۳۰-۱۷۰	10YR 3.5/5	1vfabk	—	۲۱	۵۱/۵

۱. اسلیکنساید و خاک دانه‌های گوه‌ای شکل در عمق‌های ۴۰-۹۰ سانتی‌متری دیده شد.

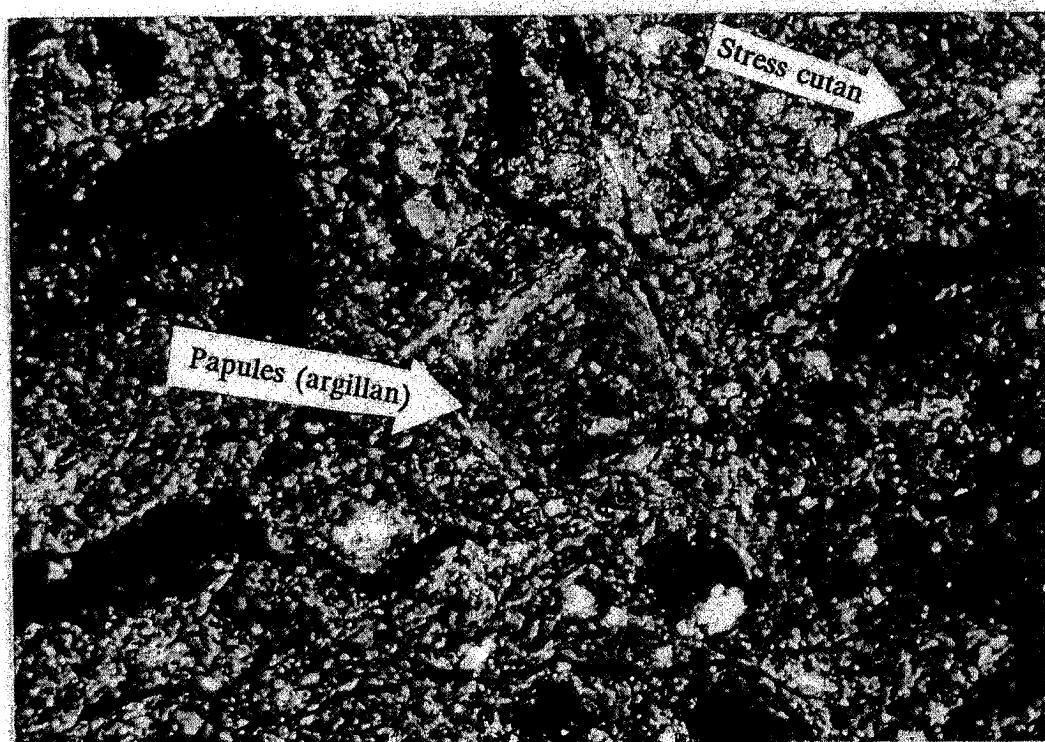
ادامه جدول ۲. برخی ویژگی‌های فیزیکی، شیمیایی، مورفولوژیک و طبقه‌بندی نیم‌رخ خاک‌های شاهد (ناحیه اقلیمی چلگرد)

سیستم طبقه‌بندی (۱۹۹۸) (۲۵)	رس ریز کل رس	CEC cmol (+)kg <sup>-1</sup>	pH گل اشباع	Fe <sub>t</sub> -Fe <sub>o</sub> (%)	کربن آلی (%)	نیم‌رخ خاک	واحد فیزیوگرافی
Mollic Haploxeralfs	۰/۵۴	۴۶/۴	۷/۱	۲/۱۳	۳/۳	۶	کوه
	۰/۵۴	۴۵/۱	۷/۳	۱/۹	۱/۲		
	۰/۶	۴۹/۲	۷/۳	۱/۷۵	۱/۱۵		
	—	۴۳/۶	۷/۶	۱/۴۹	۰/۶۵		
Typic Calcixererts	—	۴۵/۴	۷/۵	۱/۱۶	۱/۵	۷	تراس بالایی
	—	۳۲/۷	۷/۶	۰/۷۷	۰/۸۸		
	—	۱۹/۳	۷/۹	۰/۴۵	۰/۵۶		
	—	۲۲/۲	۷/۸	۰/۴۳	۰/۳۸		
	—	۱۱/۶	۷/۹	۰/۴۳	۰/۰۷		
	—	۱۵/۸	۷/۹	۰/۴۲	۰/۰۶		
	—	۸/۴	۸	۰/۳۴	۰/۰۶		
Chromic Calcixererts	—	۴۵/۲	۷/۶	۱/۱	۱/۵۱	۸	تراس میانی <sup>۱</sup>
	—	۴۱/۷	۷/۶	۰/۸۲	۱/۵۱		
	—	۳۸/۶	۷/۷	۰/۶۱	۰/۳۹		
	—	۳۷/۶	۷/۶	۰/۴۴	۰/۳۴		
Calcic Haploxeralfs	۰/۶۴	۴۵/۳	۷/۶	۰/۹۳	۱/۳۹	۹	تراس میانی
	۰/۶۸	۴۱/۸	۷/۶	۰/۸۴	۰/۶		
	۰/۶۵	۳۶/۱	۷/۷	۰/۷۹	۰/۴۱		
	۰/۶۶	۴۲/۸	۷/۴	۰/۷۹	۰/۲۸		
	۰/۶۸	۴۰/۴	۷/۶	۰/۷۶	۰/۲۵		
	۰/۶۹	۵۱/۱	۷/۴	۱/۴۹	۰/۴۹		
Typic Xerorthents	—	۲۲/۹	۷/۴	۰/۶۲	۰/۷۸	۱۰	تراس پایینی
	—	۱۲/۲	۷/۷	۰/۱۵	۰/۲۷		
	—	۱۳/۸	۷/۷	۰/۱۵	۰/۲۶		
Chromic Calcixererts	—	۴۳	۷/۴	۰/۷۴	۰/۷	۱۱	فلات‌های قدیمی
	—	۴۲	۷/۵	۰/۶۸	۰/۳۲		
	—	۴۱/۵	۷/۵	۰/۶۶	۰/۲۶		
	—	۴۲	۷/۸	۰/۶۱	۰/۲		
	—	۴۶/۵	۷/۷	۰/۵۹	۰/۱۲		

۱. اسلیکنساید و خاک دانه‌های گوه‌ای شکل در عمق‌های ۴۰-۹۰ سانتی متری دیده شد.



شکل ۹. مقطع میکروسکوپی افق Btk پروفیل ۸، نور پلاریزه، طول عکس برابر ۰/۵ میلی متر (نتوکلستیان روی آرگیلان و تخریب بخشی از آرگیلان را نشان می دهد.)



شکل ۱۰. مقطع میکروسکوپی افق 2Btkb پروفیل ۹، نور پلاریزه، طول عکس برابر ۰/۵ میلی متر [آرگیلان با منشأ رسوبی (پاپول) و کوتان فشاری به صورت غالب را نشان می دهد.]

زردکوه، نشان می‌دهد که این منطقه از نظر تکتونیک فعال بوده است (۱۰). چون اختلاف ارتفاع تراس‌های بالایی و میانی، بیش از پنج متر است، تشکیل این تراس‌ها می‌تواند در اثر فعالیت تکتونیک نیز صورت گیرد (۱۰). گرچه بول (۶) معتقد است که گسل‌های موضعی ممکن است تراس‌هایی ایجاد نمایند که از نظر سن و خواص پدولوژیک مشابه، ولی از نظر خواص توپوگرافی متفاوت باشند، با وجود این، جرارد (۱۰) وجود خاک‌های پالئوسول را در مناطق فعال تکتونیک ممکن می‌داند. بنابراین، می‌توان نتیجه گرفت که احتمالاً تراس‌های منطقه مورد بررسی در ناحیه چلگرد، در اثر فعالیت تکتونیک و اقلیم گذشته مرطوب‌تر شکل گرفته، و با تغییر شیب از طریق فرسایش و رسوب‌گذاری، ویژگی‌های خاک‌ها تغییر نموده است.

باشد، این پرسش مطرح می‌شود که آیا تغییرات قرمزی افق 2Btkb در پروفیل ۹، در اثر زمان طولانی‌تر انجام شده، یا در اثر اقلیم، و یا هر دو؟ به نظر می‌رسد که هر دو عامل اقلیم و زمان در این‌جا نقش دارند. میزان  $Fe_0-Fe_2$  (جدول ۲) در افق مدفون برابر  $1/49$ ، ولی برای افق‌های Btk4 و Ap به ترتیب برابر  $0/76$  و  $0/93$  می‌باشد. مقدار  $Fe_0-Fe_2$  آهن بلوری آزاد را نشان می‌دهد، و چون هرچه اکسید آهن بلوری در یک خاک بیشتر باشد سن آن خاک بیشتر است (۲۷)، می‌توان گفت که 2Btkb قدیمی‌تر است.

وجود تراس‌های رودخانه‌ای می‌تواند نظریه پیدایش خاک‌های پالئوسول در ناحیه اقلیمی چلگرد (تغییر اقلیم) و منشأ پلی‌ژنتیک خاک‌ها را تقویت نماید. وجود تراس‌ها و بریدگی عمیق اطراف رودخانه و پیدایش گسل در اطراف

#### منابع مورد استفاده

۱. درویش‌زاده، ع. ۱۳۷۰. زمین‌شناسی ایران. نشر دانش‌آموز وابسته به مؤسسه انتشارات امیرکبیر، تهران.
۲. مهندسی مشاور یکم. ۱۳۶۷. مطالعات جامع احیا و توسعه کشاورزی و منابع طبیعی حوزه آبخیز شمالی رود کارون. جلد‌های دوم، ششم، هشتم و چهارم. وزارت کشاورزی، معاونت طرح و برنامه، تهران.
3. Birkland, P. W. 1984. Soils and Geomorphology. Oxford University Press, New York.
4. Blume, H. P. and U. Schwertmann. 1969. Genetic evaluation of profile distribution of Al, Fe and Mn oxides. Soil Sci. Am. Proc. 33: 438-444.
5. Brewer, R. 1976. Fabric and Mineral Analysis of Soils. Krieger Publ. Co., Huntington, New York.
6. Bull, W. B. 1991. Geomorphic Response to Climatic Change. Oxford University Press, New York.
7. Buol, S. W. and S. B. Weed. 1991. Saprolite soil transformations in the piedmont and mountains of North Carolina. Geoderma 51: 15-28.
8. Drees, L. R. and L. D. Wilcing. 1987. Micromorphic record and interpretations of carbonate forms in the rolling plains of Texas. Geoderma 40: 157-175.
9. Ducloux, J., J. P. Delhoume, S. Petit and A. Decarreau. 1995. Clay differentiation in Aridisols of northern Mexico. Soil Sci. Soc. Am. J. 59: 269-276.
10. Gerrard, J. 1992. Soil Geomorphology. An integration of pedology and geomorphology. Chapman and Hall, London.
11. Jessup, R. W. 1960. Identification and significance of buried soils of Quaternary age in the southeastern portion of the Australian arid zone. J. Soil Sci. 11: 197-205.
12. Khan, F. A. and T. E. Fenton. 1996. Secondary iron and manganese distributions and aquic conditions in a Mollisol catena of central Iowa. Soil Sci. Soc. Am. J. 60: 546-551.
13. Kittrick, J. A. and E. W. Hope. 1971. A procedure for particle size separations of soil for X-ray diffraction. Soil Sci. Am. J. 35: 621-626.

14. McFadden, L. D. and R. J. Weldon. 1987. Rates and processes of soil development on Quaternary terraces in Cajon Pass, California. *Geol. Soc. Am. Bull.* 98: 280-293.
15. Meixner, R. E. and M. J. Singer. 1981. Use of a field morphology rating system to evaluate soil formation and discontinuities. *Soil Sci.* 131: 114-123.
16. Monger, H. C. and H. P. Adams. 1996. Micromorphology of calcite-silica deposits, Yucca Mountain, Nevada. *Soil Sci. Soc. Am. J.* 60: 519-530.
17. Moore, T. R. 1973. The distribution of Fe, Mn, and Al in some soils from northeast Scotland. *J. Soil Sci.* 24: 162-171.
18. Rabenhorst, M. C., L. T. West and L. P. Wilding. 1991. Genesis of calcic and petrocalcic horizons in soils over carbonate rocks. *In: Occurrence, Characteristics, and Genesis of Carbonate, Gypsum, and Silica Accumulations in Soils.* SSSA. Special Pub. N. 26, Madisson, WI.
19. Reheis, M. C., J. M. Sowers, E. M. Taylor, L. D. McFadden and J. W. Harden. 1992. Morphology and genesis of carbonate soils on the Kyle canyon fan. *Geoderma* 52: 303-342.
20. Rettalack, G. J. 1990. *Soils of the Past. An introduction to paleopedology.* Boston, Unwin Hyman, London.
21. Rhodes, E. R. and P. M. Sutton. 1987. Active iron ratio of some soils from three physiographic units in Sierraleone. *Soil Sci.* 125: 326-327.
22. Ruhe, R. V. 1956. Geomorphic surfaces and the mature of soils. *Soil Sci.* 84: 441-455.
23. Smeck, N. E., J. Torrent and V. Barron. 1994. Interactions and weathering losses of iron and phosphorus in Palexeralfs of southern Spain. *Soil Sci. Soc. Am. J.* 58: 1723-1729.
24. Sobecki, T. M. and L. P. Willding. 1982. Calcic horizon distribution and soil classification in selected soils of the Texas Coast Prairie. *Soil Sci. Soc. Am. J.* 46: 1222-1227.
25. Soil Survey Staff. 1998. *Keys to Soil Taxonomy.* 8th ed., USDA-NRCS, Washington, DC.
26. Timpson, M. E., S. Y. Lee, J. T. Ammons and J. E. Foss. 1996. Mineralogical investigation of soils formed in calcareous gravelly alluvium, Eastern Crete, Greece. *Soil Sci. Soc. Am. J.* 60: 299-308.
27. Walker, A. L. 1983. The effects of magnetite on oxalate and dithionite extractable iron. *Soil Sci. Soc. Am. J.* 47: 1022-1026.